

---

# 初期宇宙からの重力波と 密度揺らぎによるその歪み

---

神野 隆介 (DESY)

Based on 2002.11083 (JCAP published)

with Valerie Domcke (DESY→CERN) and Henrique Rubira (DESY)

2020.8.31 @ 素粒子物理学の進展2020

---

---

イントロ

---

---

# 重力波：宇宙への新たなプローブ

- 重力波

計量のtransverse-traceless部分

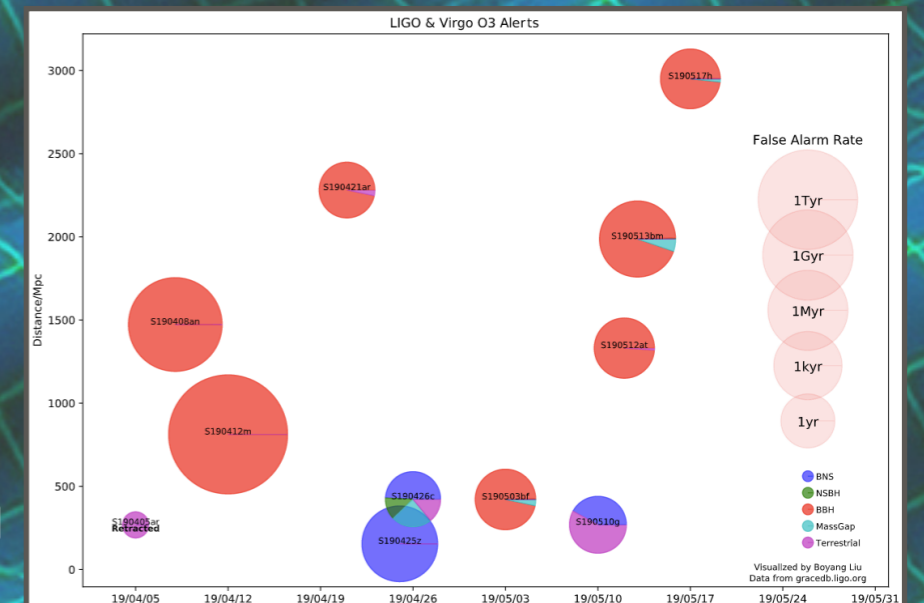
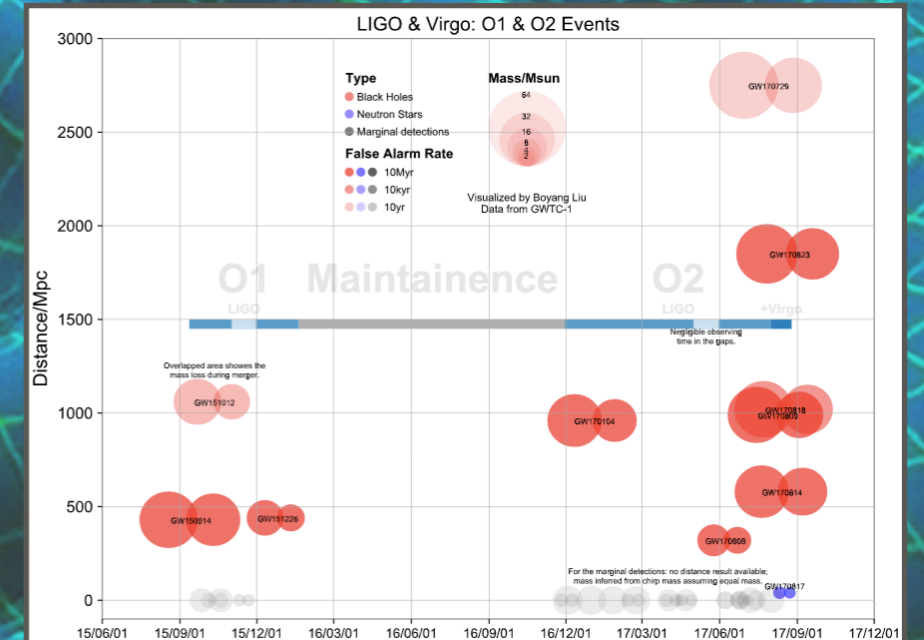
$$ds^2 = -dt^2 + a^2(\delta_{ij} + h_{ij})dx^i dx^j$$

エネルギー運動量テンソルをソースとする  
波動方程式に従う

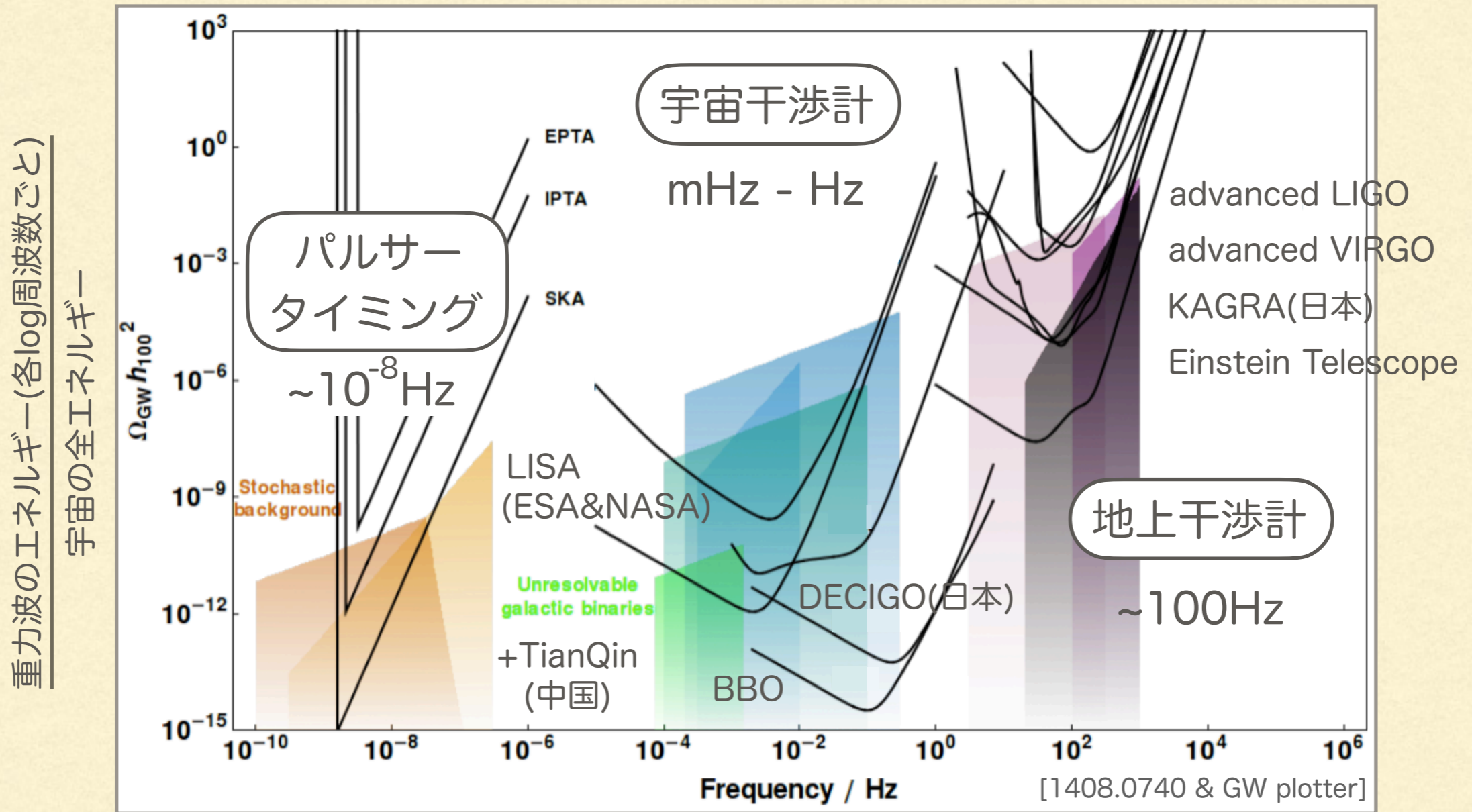
$$\square h_{ij} \sim GT_{ij}$$

- LIGO & Virgo collaborationにより  
多数のイベントが検出されている

[Wikipedia "List of gravitational wave observations"]  
[see also <https://gracedb.ligo.org/superevents/public/O3/>]



# 現在&将来観測計画

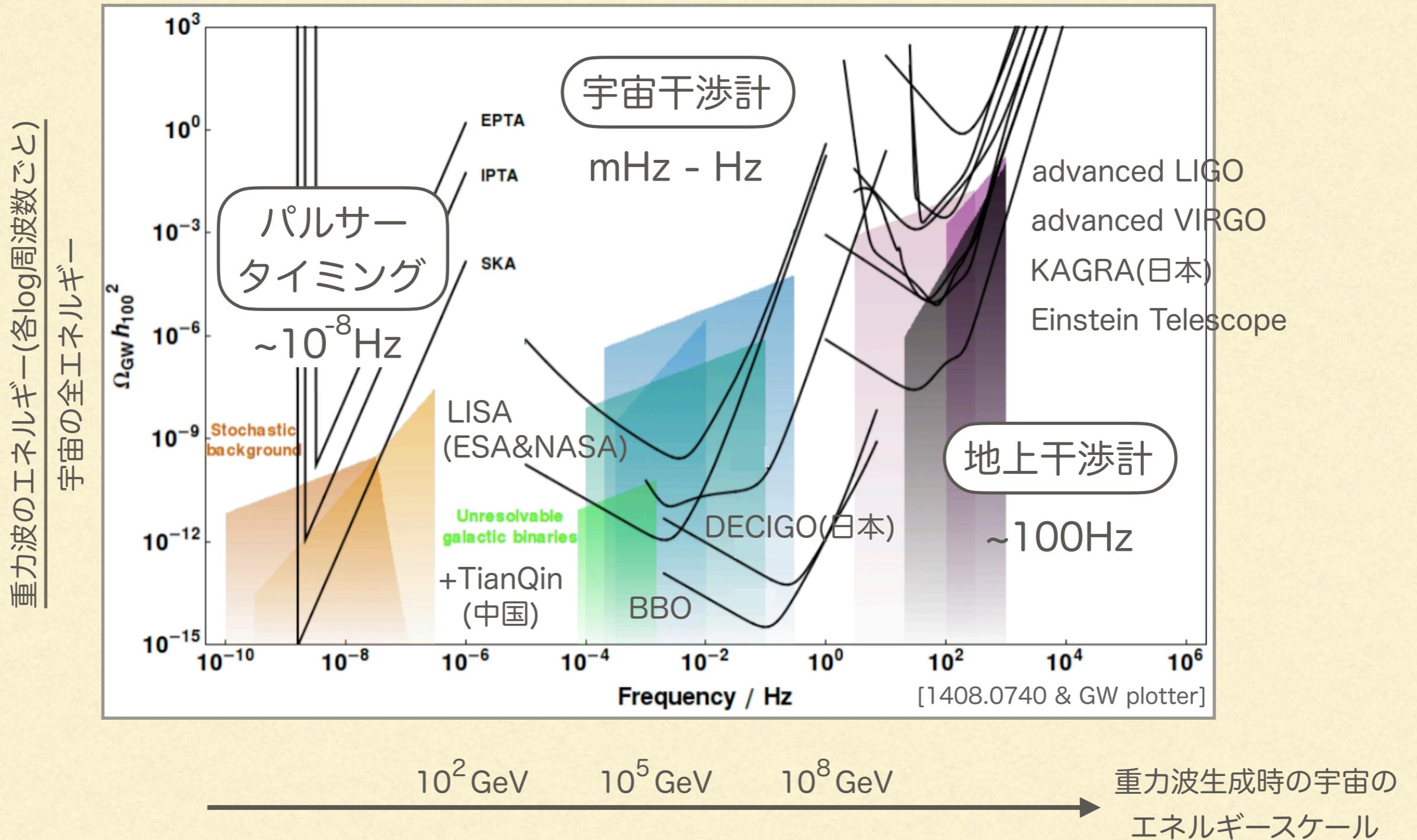


高エネルギー物理の観点で何が面白い？ [ → 黒柳さんのトーク ]

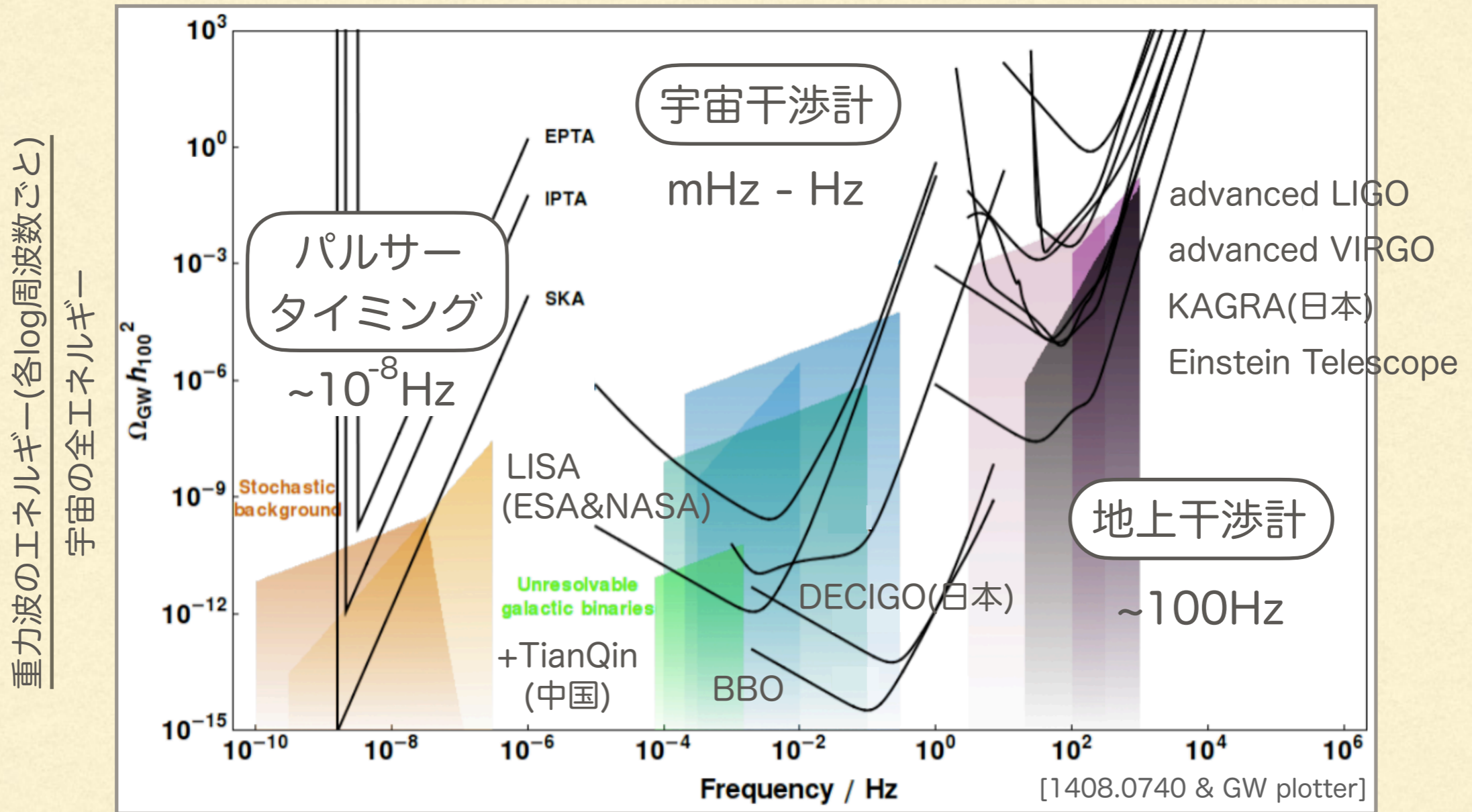
大雑把に、周波数↔エネルギースケール対応がある

(注: 初期宇宙でHubble horizon程度の波長の重力波生成が起きたと仮定)

# 現在&将来観測計画



# 現在&将来観測計画



10<sup>-1</sup> GeV    10<sup>2</sup> GeV    10<sup>5</sup> GeV

重力波生成時の宇宙の  
エネルギースケール

(注: 初期宇宙でHubble horizon × 1/1000 の波長の重力波生成が起きたと仮定)

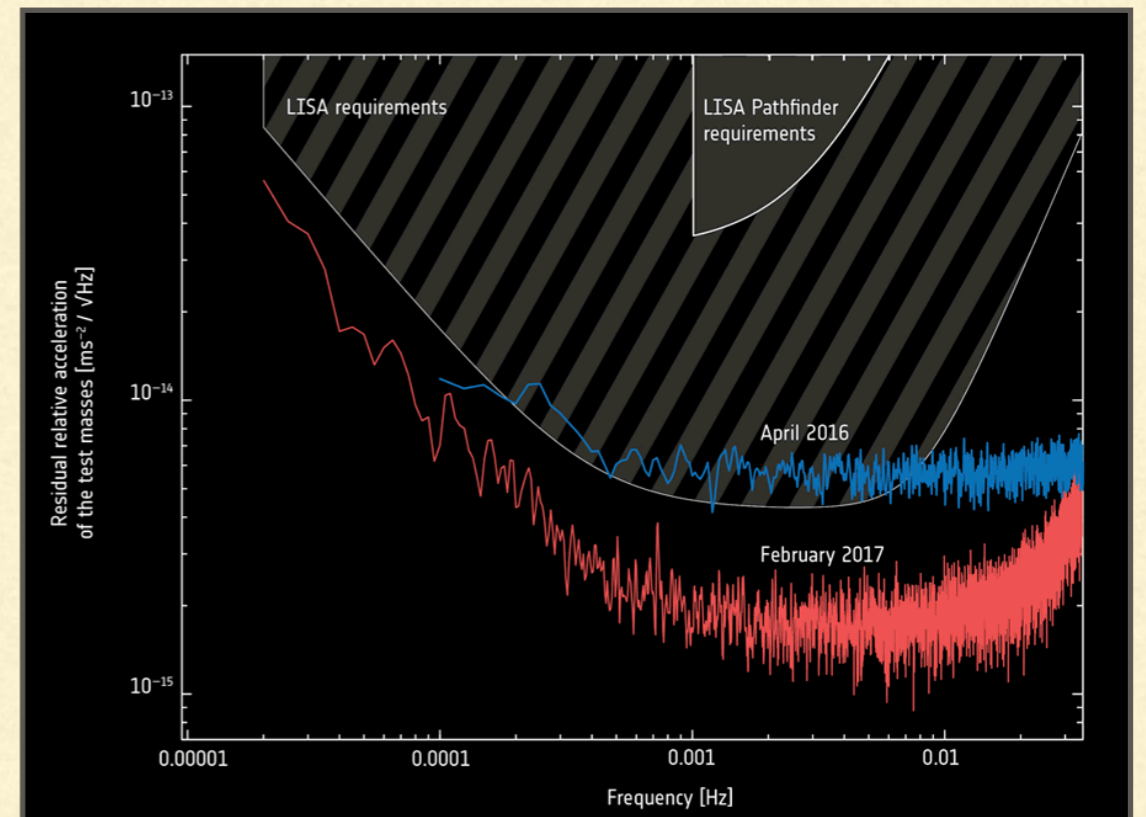
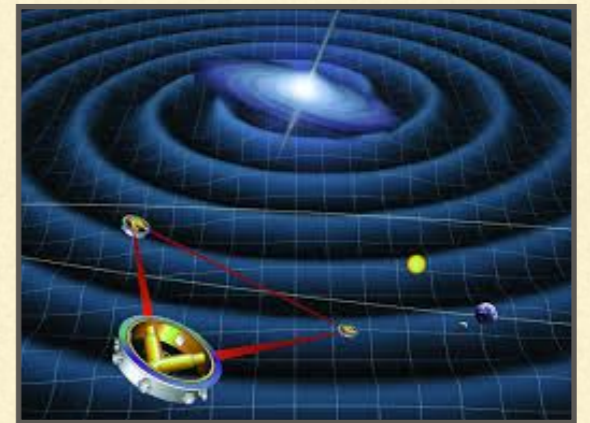
# 将来観測計画(例)

[ <https://lisa.nasa.gov/#lisaPathfinder> ]

[ [https://aasarchives.blob.core.windows.net/files/aastcs\\_6\\_abstracts\\_2018-06-27.pdf](https://aasarchives.blob.core.windows.net/files/aastcs_6_abstracts_2018-06-27.pdf) ]

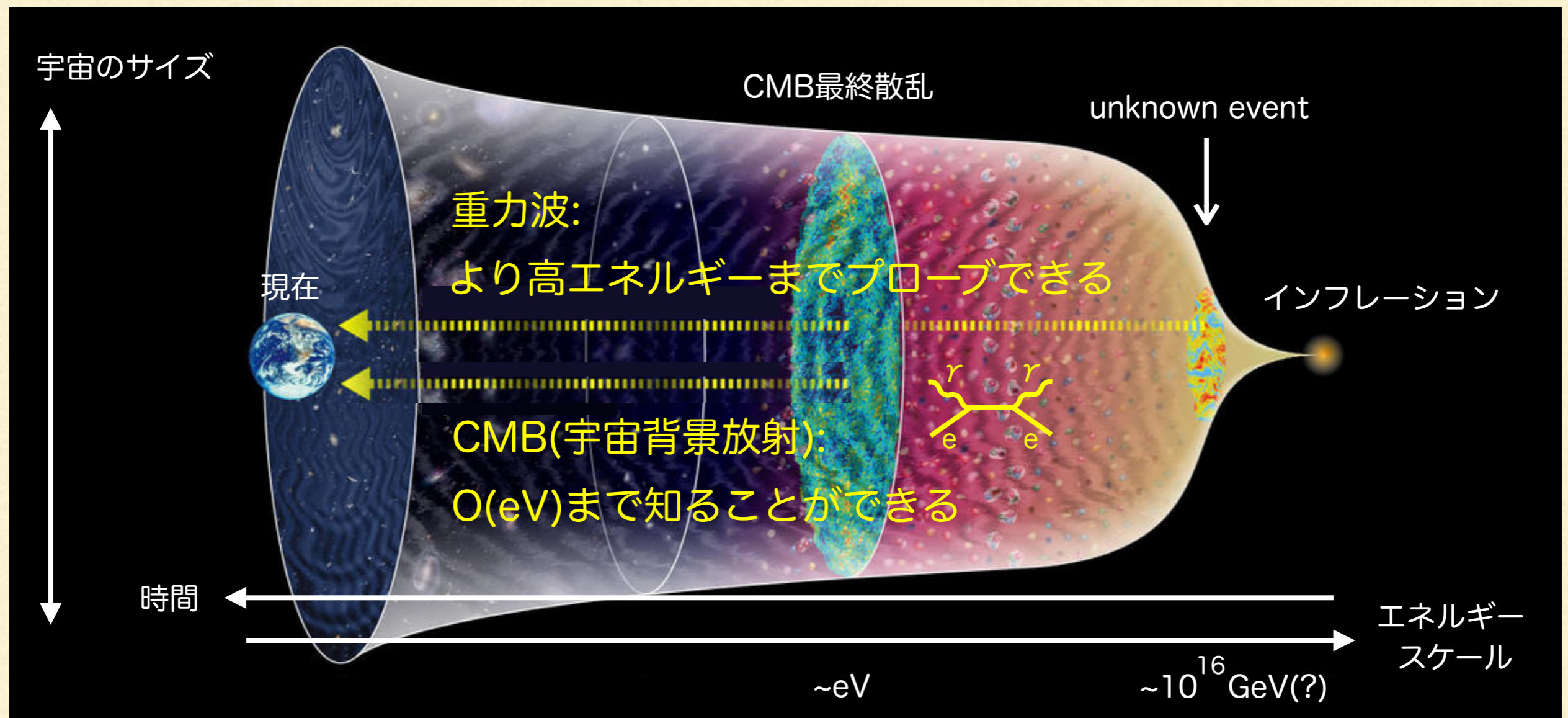
## ■ LISA (Laser Interferometer Space Antenna)

- ESA & NASA主導の計画
- 2017年にthird-large class mission (L3)に  
選択され、2034年の稼動開始が決定
- 3つの衛星。衛星間の距離 = 250万km。
- 2015年からLISA pathfinderで  
テクノロジーの実証。結果→



# 初期宇宙起源の重力波

- 重力波の何が特別なのか





---

# 本講演のポイント

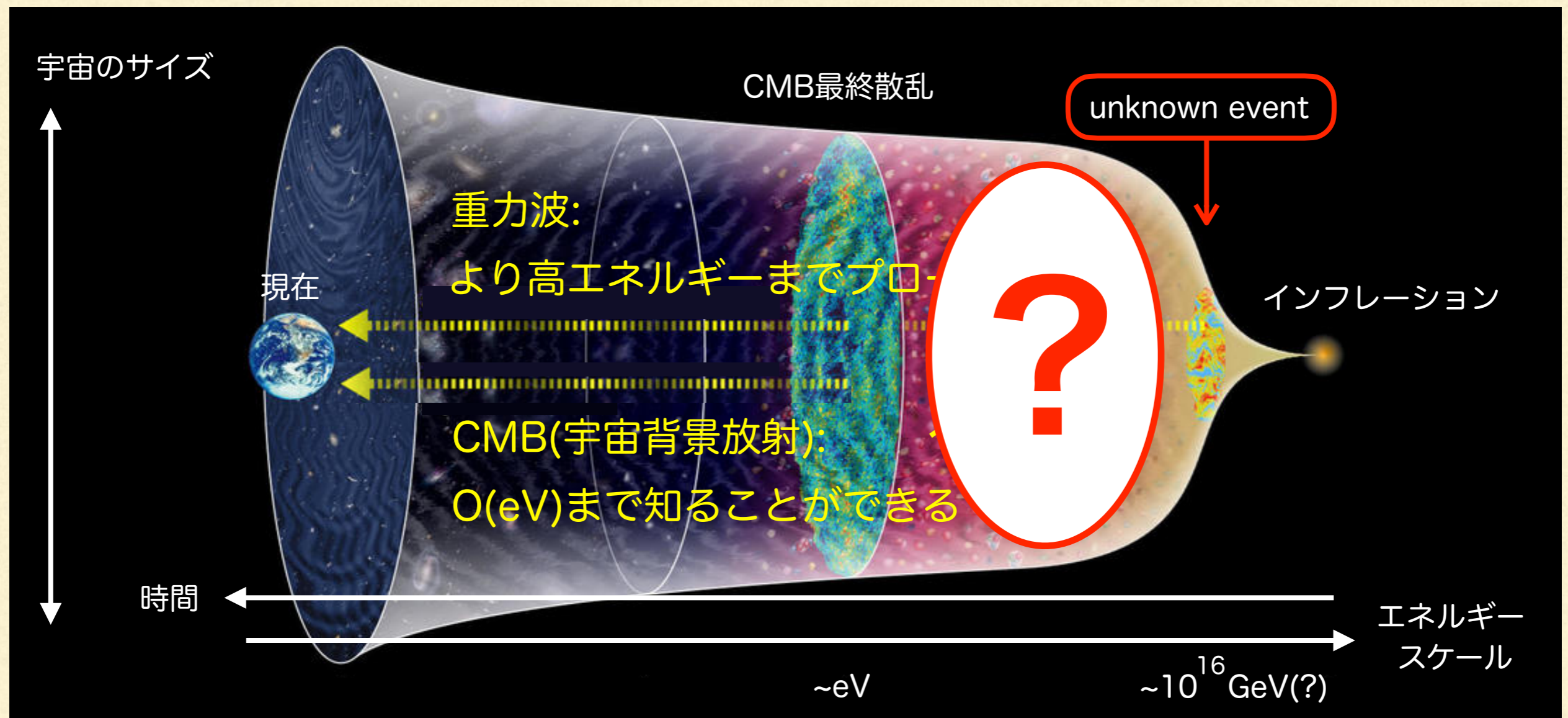
---

- 初期宇宙由来の重力波が観測されたとする  

(それ自体すごいことで、重力波生成時の宇宙の様子がわかる  
→そのエネルギースケールの素粒子物理に示唆がある)
- さらに、「生成時」だけでなく「生成後」の  
integrated historyが重力波スペクトルに乗っている
- 重力波スペクトルを丁寧に観測することで、  
「密度揺らぎ」のintegrated historyがわかるかも

# 初期宇宙起源の重力波

- 重力波の何が特別なのか

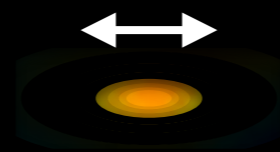


# 密度揺らぎとは？

- **?** の時期に何が起きているのか

Hubble horizon

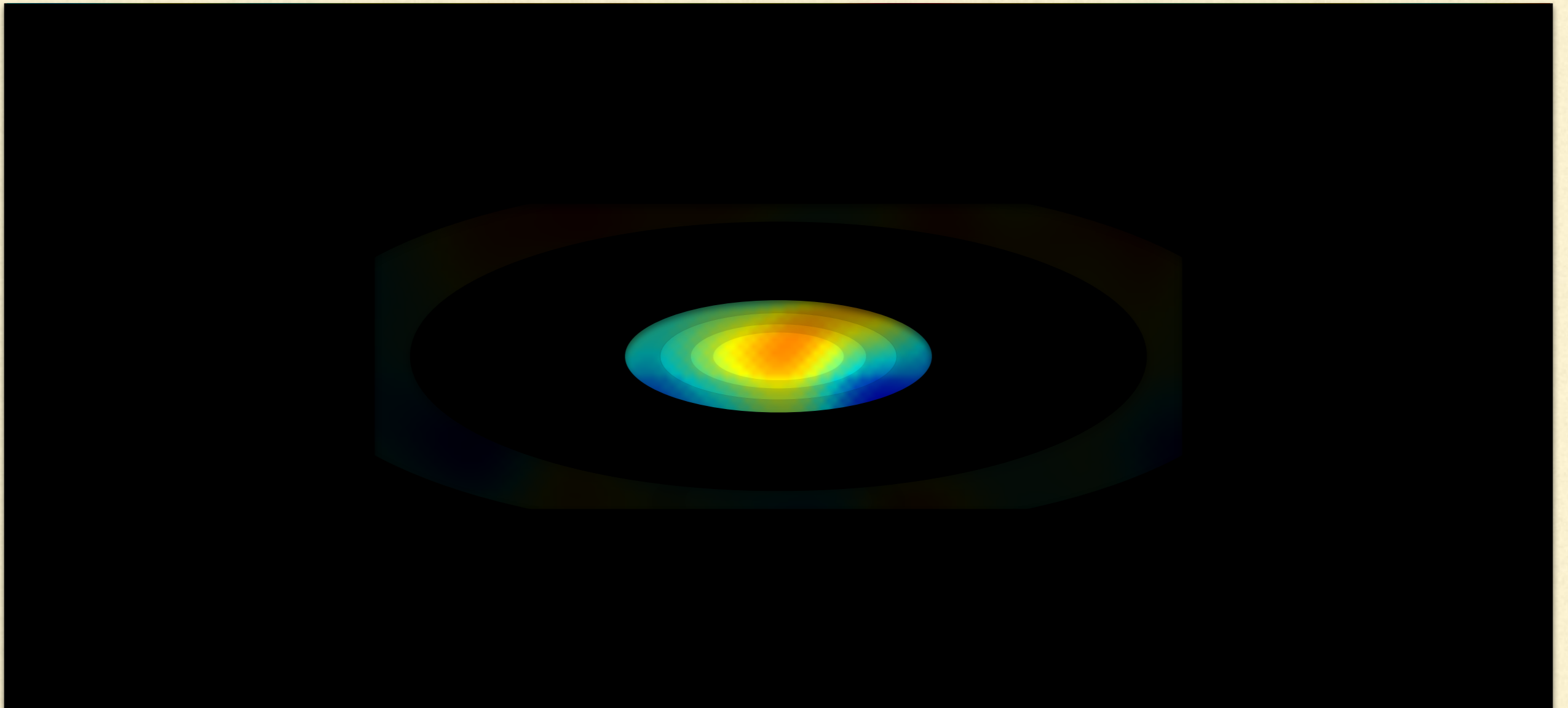
( $\sim c \times$  インフレーション終了時からの時刻)



この領域の中心点は、(インフレーション終了以降)領域外の点と causal contact に入れない

# 密度揺らぎとは？

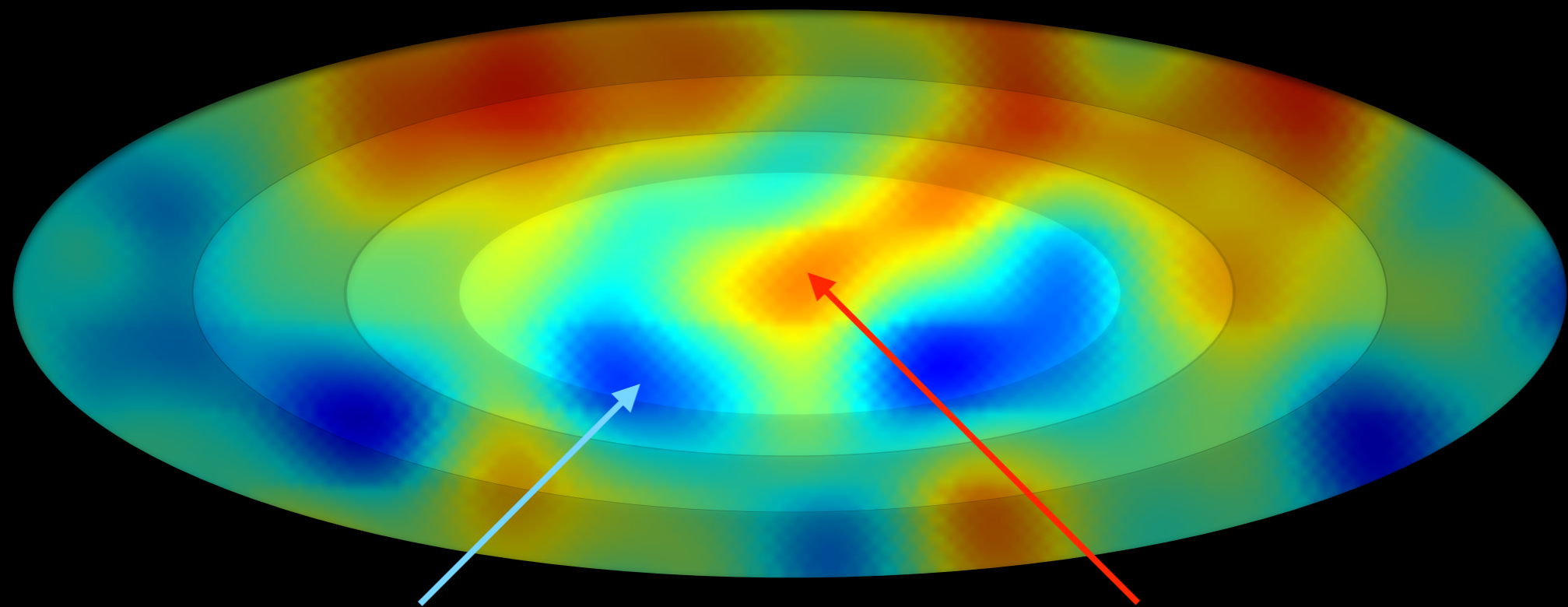
- **?**の時期に何が起きているのか



# 密度揺らぎとは？

- **?**の時期に何が起きているのか

エネルギー密度の高低(密度揺らぎ)がHubble horizonの中に入ってくる

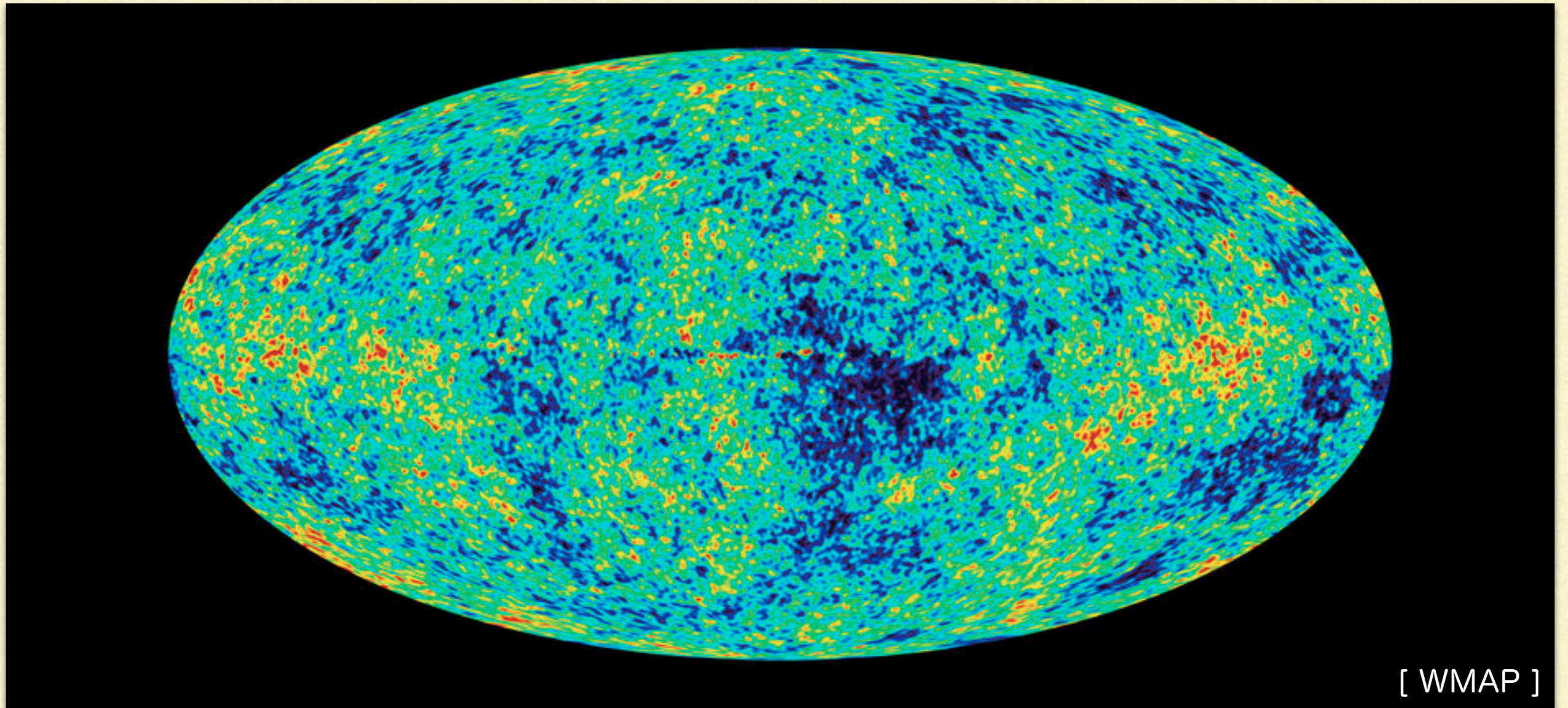


温度が平均より低い領域

温度が平均より高い領域

# 密度揺らぎとは？

- これは(注目したい典型的時期や長さが異なるが)CMBで起きていることと同じ



---

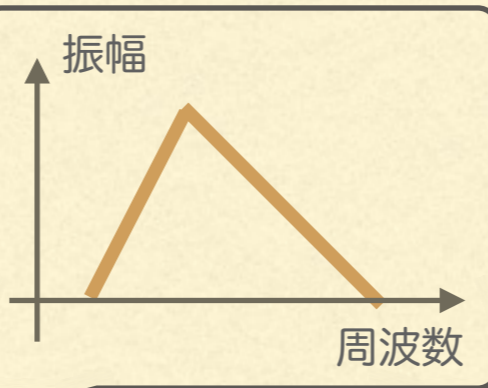
アイデア

---

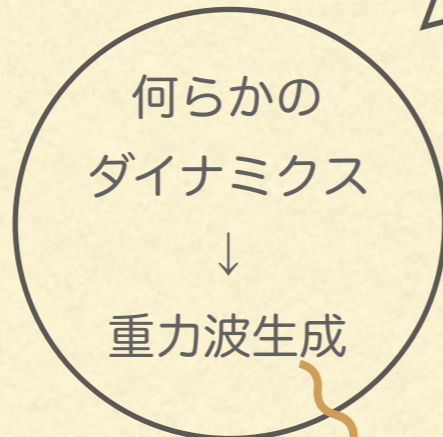
# アイディア

- もし宇宙が完全に一様等方だったら...

重力波スペクトル



重力波  
「生成」時刻

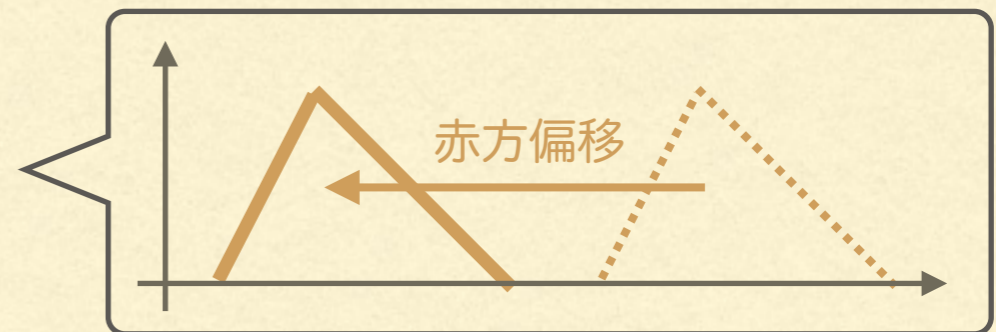


Hubble horizon

重力波



時間  
≈  
現在

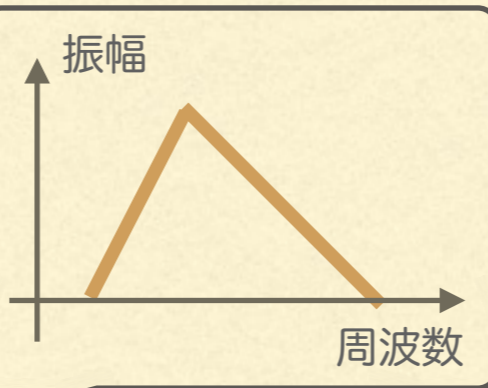




# アイディア

- もし宇宙が完全に一様等方だったら...

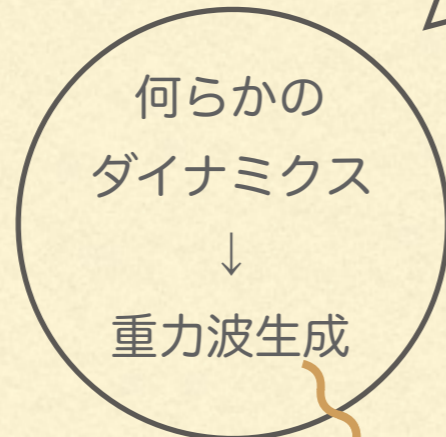
重力波スペクトル



例: [ → 黒柳さんのトーク ]

- 一次相転移(からのバブル衝突等)  
[ → 端野さんのトーク ]
- 宇宙ひも・ドメインウォール
- インフレーション起源の重力波  
(のhorizon entry)
- インフレーション終了時の  
粒子生成に伴う重力波  
[ → 榎本さんのトーク ]

重力波  
「生成」時刻



Hubble horizon

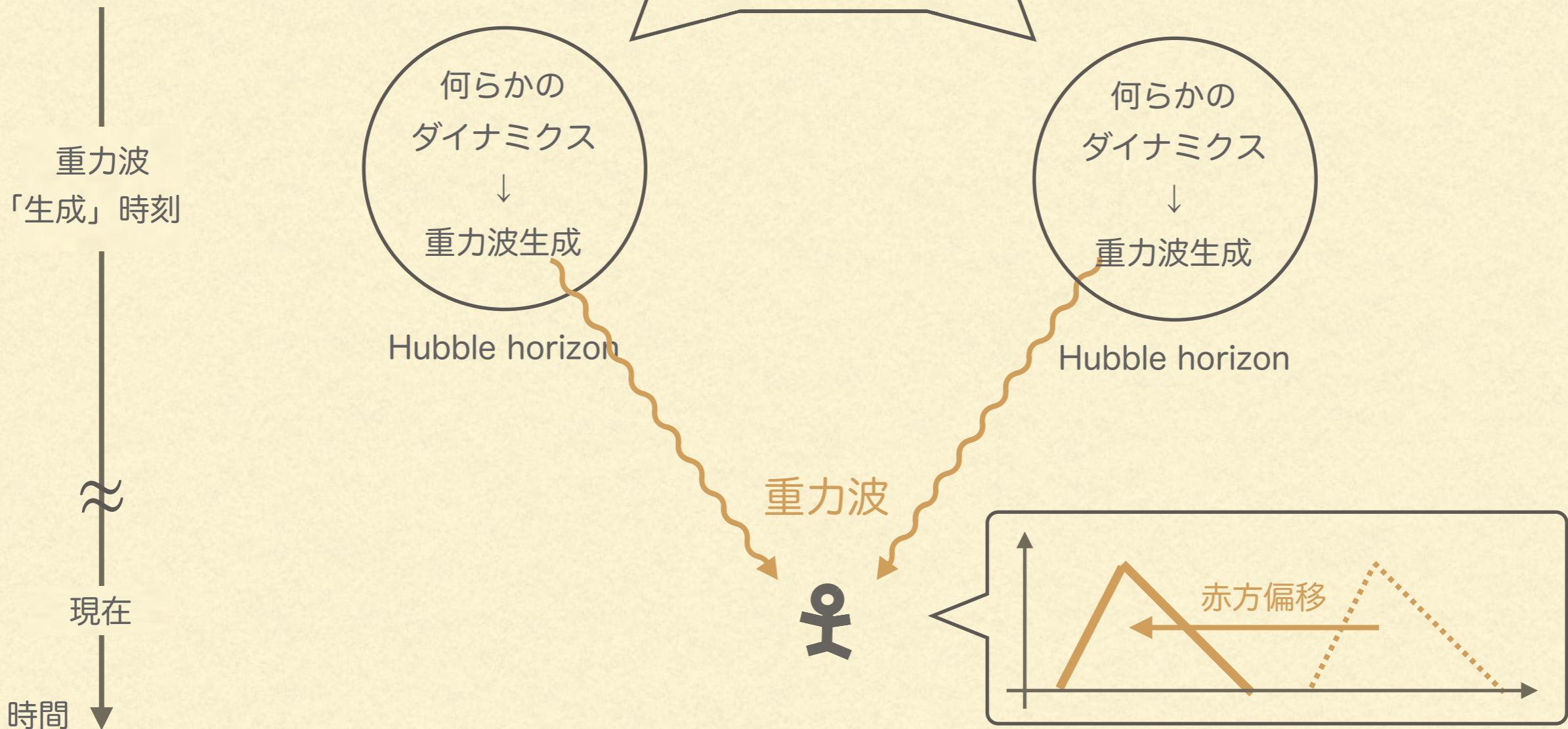
重力波



時間  
≈  
現在

# アイディア

- もし宇宙が完全に一様等方だったら...



# アイディア

- しかし実際は  
密度揺らぎがあるため...



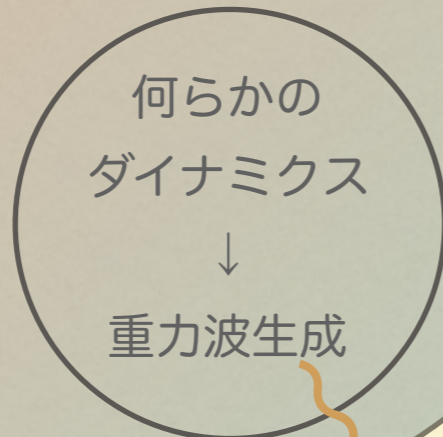
# アイディア

重力波伝播中に  
Hubble horizonに入ってくる  
密度揺らぎ

$T < \bar{T}$

- しかし実際は  
密度揺らぎがあるため...

重力波  
「生成」時刻



Hubble horizon

$T > \bar{T}$

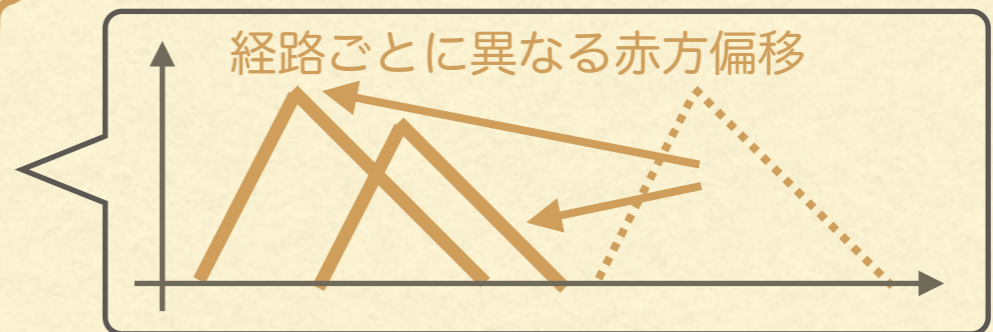


Hubble horizon

重力波



重力波が  
その経路上の密度揺らぎに  
依存して時間発展する



時間

現在

≈

# アイディア

重力波伝播中に  
Hubble horizonに入ってくる  
密度揺らぎ

$$T < \bar{T}$$

$$T > \bar{T}$$

しかし実際は  
密度揺らぎがあるため...

重力波  
「生成」時刻

何らかの  
ダイナミクス  
↓  
重力波生成

Hubble horizon

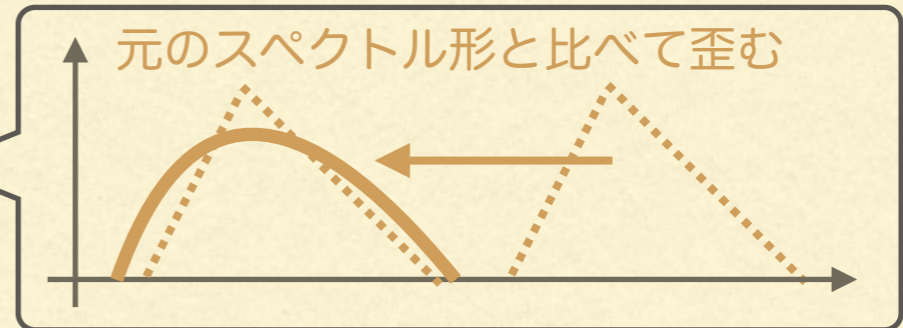
何らかの  
ダイナミクス  
↓  
重力波生成

Hubble horizon

重力波



重力波が  
その経路上の密度揺らぎに  
依存して時間発展する



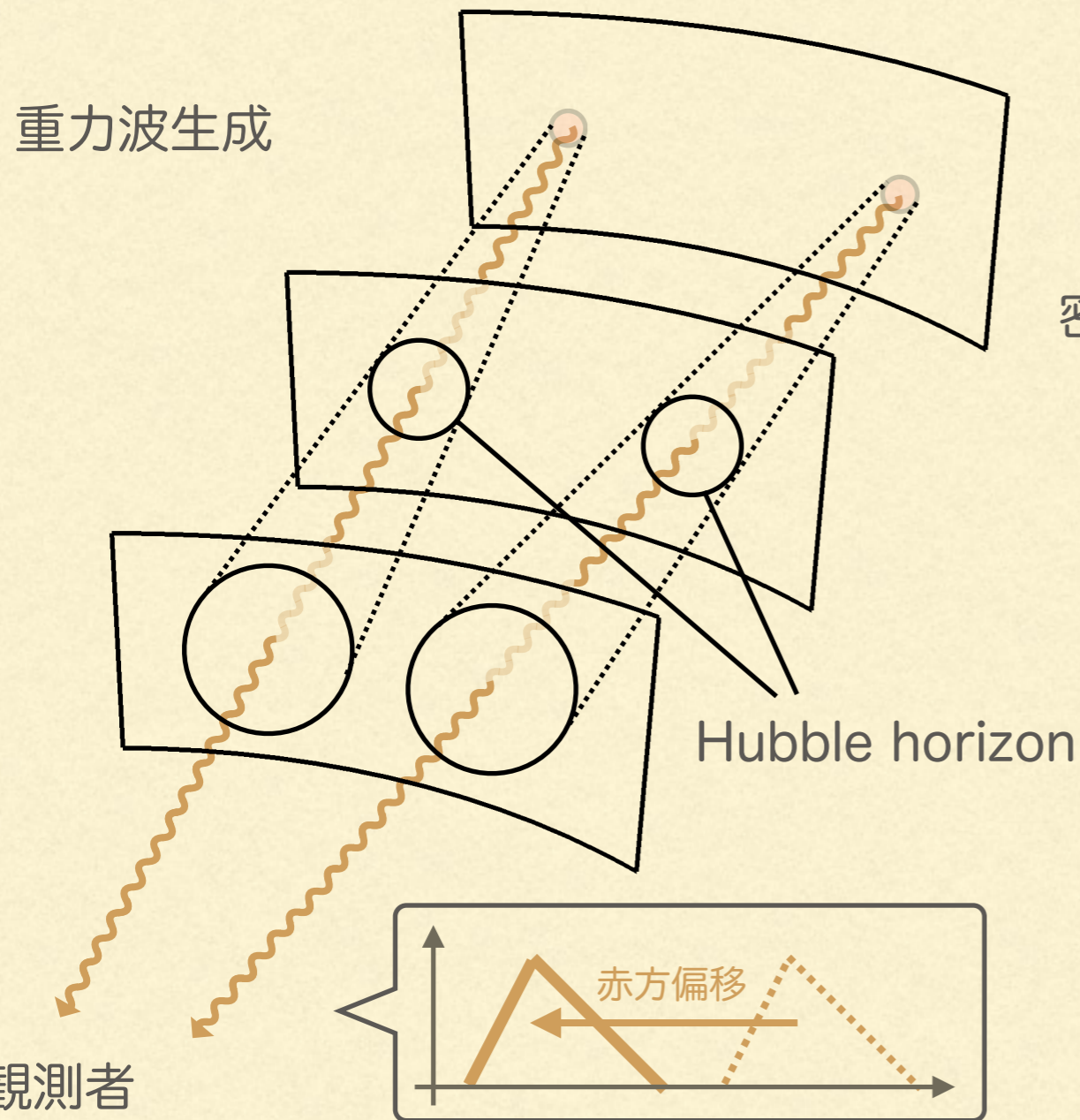
時間

現在

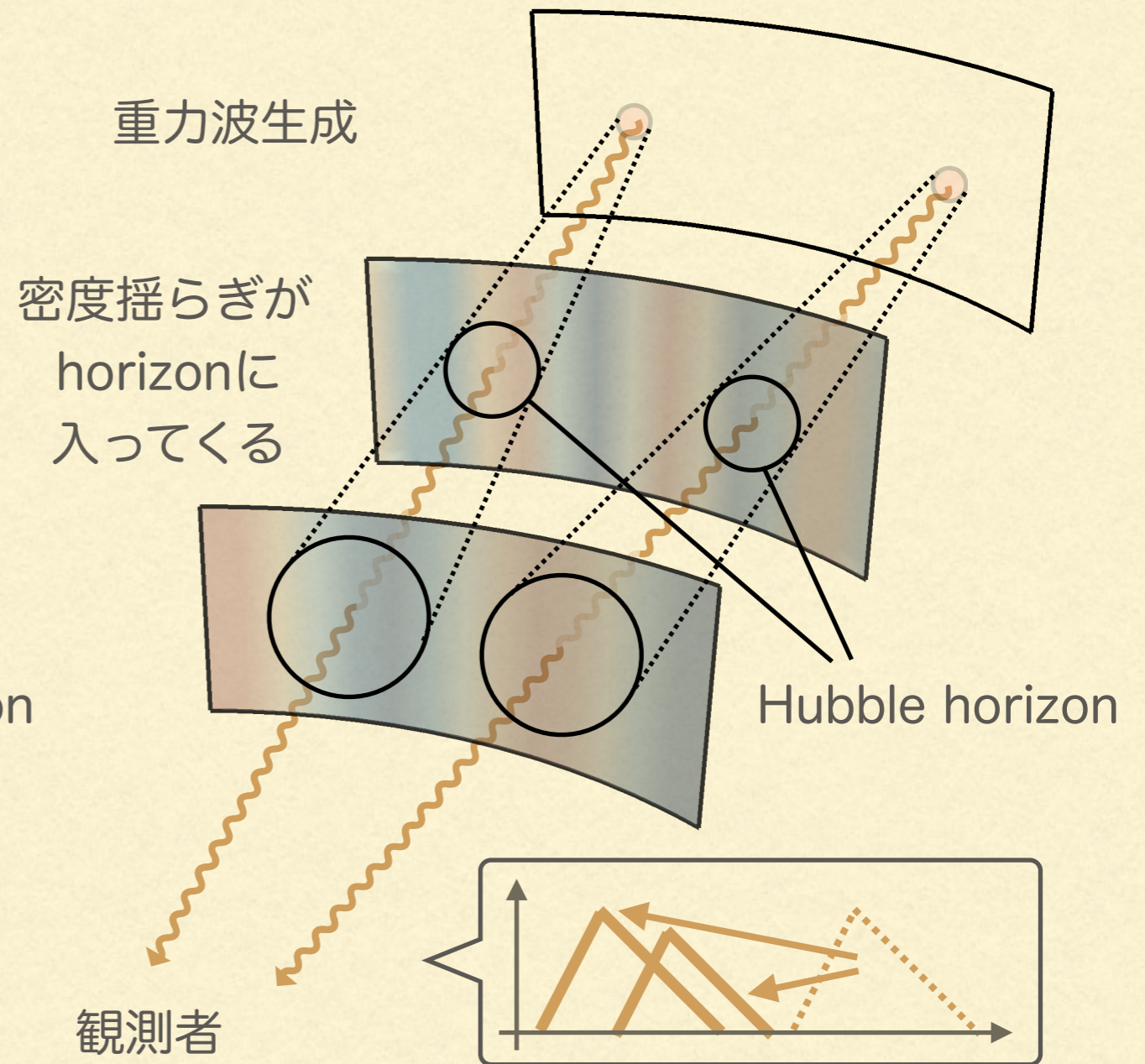
≈

# アイディア

一様等方な場合



密度揺らぎがある場合



# アイディア

一様等方な場合

密度揺らぎがある場合

重力波生成

重力波生成

この効果をどう見積もる？  
どれくらい効く？

Hubble horizon

Hubble horizon

観測者

観測者

赤方偏移

---

# なぜ密度揺らぎ？

---

- 宇宙最初期の加速膨張(インフレーション)を仮定すると、(大きな値をとるかは別にして)必ず存在する。
- LIGOによるblack hole binaryからの重力波検出以降、原始ブラックホール(primordial black hole, PBH)の研究が盛ん。  
このPBHは密度揺らぎから作られる。[ → 寺田さんのトーク ]



---

# トークプラン

---

1. イントロ

2. アイディア

3. 密度揺らぎが重力波の伝播に与える効果

- 問題の定義

- Sachs-Wolfe, 積分Sachs-Wolfe, ドップラー効果, 重力レンズ

- 解析的表式 & 数値結果

4. まとめ

# 問題を(もう少し丁寧に)定義

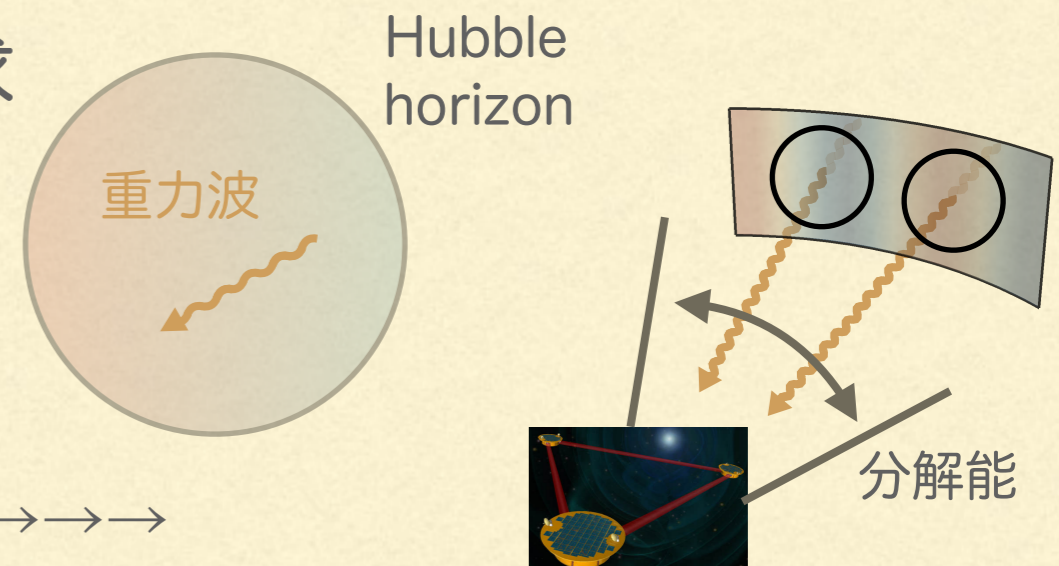
- 初期宇宙由来の重力波源(何でもよい)を仮定
- 密度揺らぎ自体は、重力波生成前にインフラトンが作る
  - インフラトンによるsingle clockを仮定 → 各パッチはtime shiftのみの違い

- 簡単のため、スケール間に階層性を要求

1. 重力波の波長  $\ll$  密度揺らぎの波長

幾何光学近似を採用するため  $\rightarrow\rightarrow\rightarrow$

2. 密度揺らぎの波長  $\ll$  重力波検出器の分解能  $\rightarrow\rightarrow\rightarrow$



- このとき、重力波の「isotropic spectrum」はどう歪む？

---

# CMBを参考にしよう

---

CMBの文脈で以下の効果が知られている

Sachs-Wolfe / 積分Sachs-Wolfe / ドップラー効果 / 重力レンズ

# 伝播効果

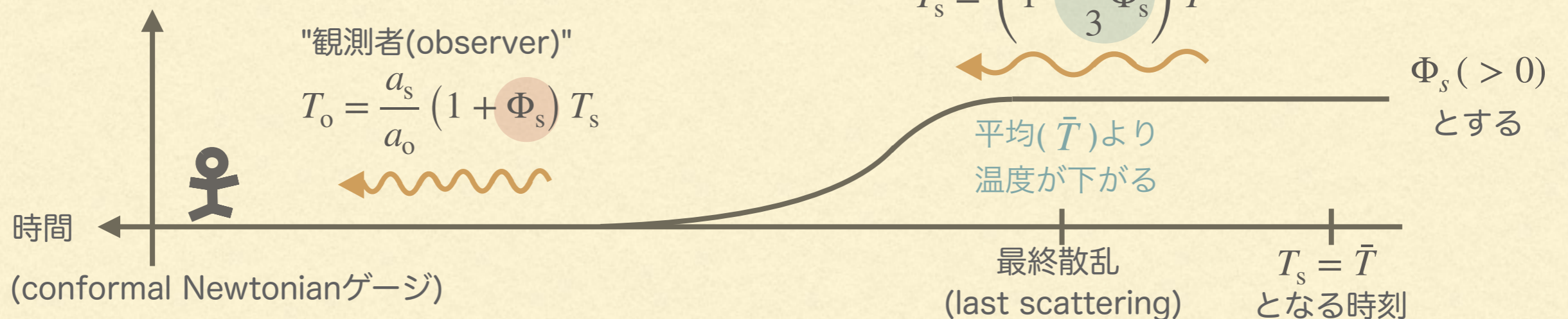
## IN A NUTSHELL

- Sachs-Wolfe効果 (CMBの文脈で) [ Sachs & Wolfe '67 / Hu & White '97 ]

$$\frac{\Delta T}{T} = \Phi_s - \frac{2}{3}\Phi_s$$

ここで  $ds^2 = -a^2(1 + 2\Phi) d\tau^2 + a^2\delta_{ij}(1 - 2\Psi) dx^i dx^j$  (conformal Newtonianゲージ)  
 $\Phi = \Psi$  (非等方ストレスがないと仮定)

Newtonian potential  $\Phi = \Psi$



# 伝播効果

## IN A NUTSHELL

- 積分Sachs-Wolfe効果 (CMBの文脈で) [ Rees & Ciama '67 ]



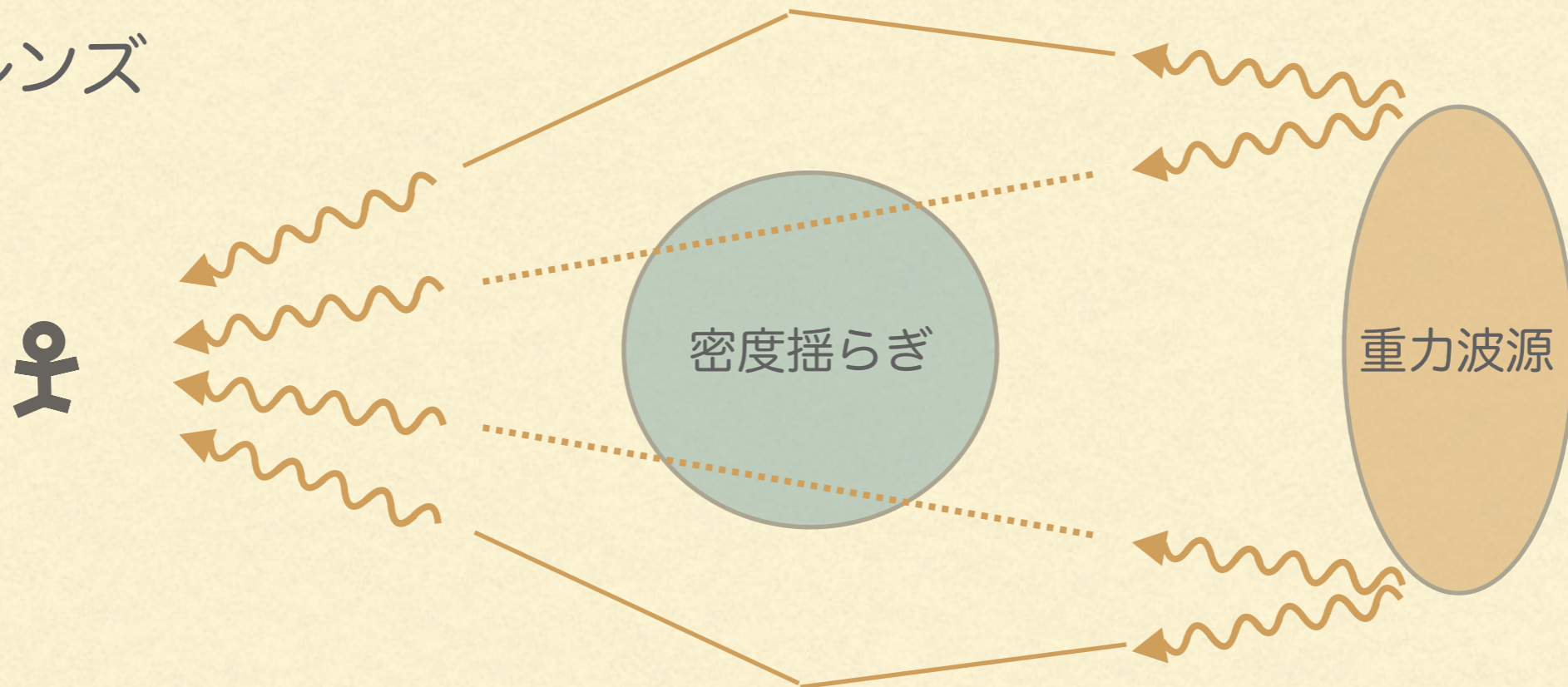
# 伝播効果

## IN A NUTSHELL

- ドップラー効果

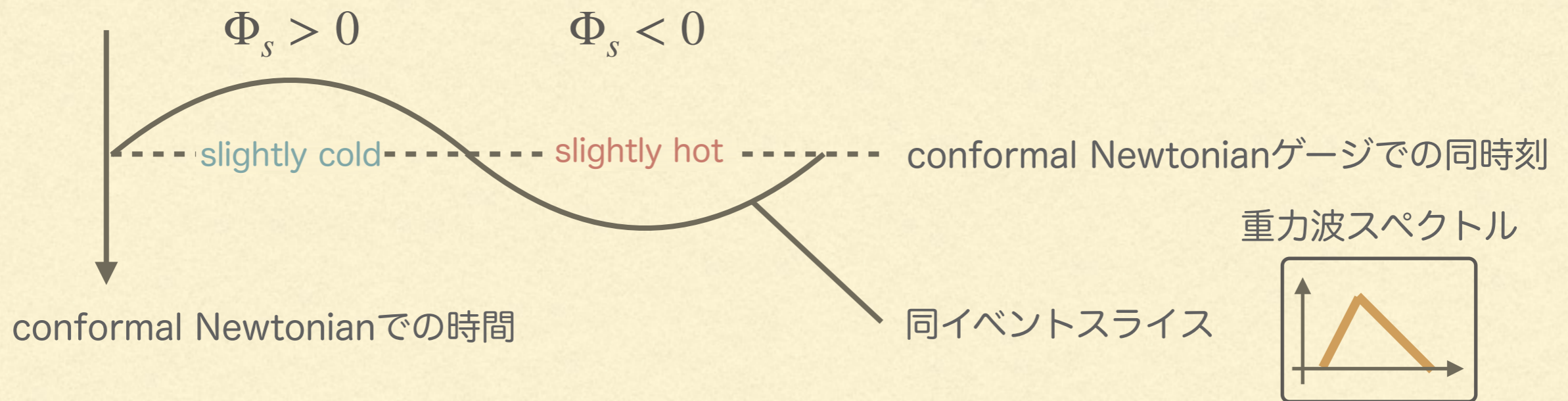


- 重力レンズ



# 「生成時の重力波スペクトル」 の定義

- 以下、CMBを参考にして重力波スペクトルがどう歪むか考える
- まず「生成時の重力波スペクトル」を定義する必要がある



conformal Newtonianゲージでの同時刻スライスとは同イベントスライスではない

(i.e. time sliceの取り方が悪いせいで、重力波スペクトルがばらついて見える)

ちゃんと重力波スペクトルが同じになるスライス上で「生成時の重力波スペクトル」を定義

# 重力波スペクトルの歪み: 解析的結果

- 重力波 $h$ のパワースペクトル  $\Delta_h^2$  は、 $h$ の2点関数で定義される

$$\langle h^{(+,\times)}(f, \hat{n}) h^{(+,\times)*}(f, \hat{n}') \rangle_{\text{tensor ens. ave.}} \propto \delta(f - f') \delta(\hat{n}, \hat{n}') \Delta_h^{(+,\times)2}(f)$$

振幅
位相
pol. tensor

ここで  $h_{ij}(f, \hat{n}) = \underbrace{A(f, \hat{n}) \times e^{i\phi(f, \hat{n})}}_{h(f, \hat{n})} \times e_{ij}(\hat{n})$  (簡単のため+, xのラベルは省いた)

- このパワースペクトルに対し、以下のmaster formulaを適用する

$$\Delta_h^{2,(o)}(\ln f) = \left\langle e^{2\Delta \ln A} \Delta_h^{2,(s)}(\ln f - \Delta \ln f) \right\rangle_{\text{scalar ens. ave.}}$$

"observed"
"source"



# 重力波スペクトルの歪み: 解析的結果

- Master formulaの直観的説明

$$\overset{\text{"observed"}}{\Delta_h^{2,(o)}(\ln f)} = \left\langle e^{2\frac{\Delta \ln A}{\text{"source"}} \Delta_h^{2,(s)}(\ln f - \frac{\Delta \ln f}{\text{scalar ens. ave.}})} \right\rangle$$

密度揺らぎによる (log)振幅 と (log)周波数 の変化

$$\Delta \ln A \equiv \ln(A_o/A_s) = \text{func. of } \Phi_s \text{ and } \Psi_s$$

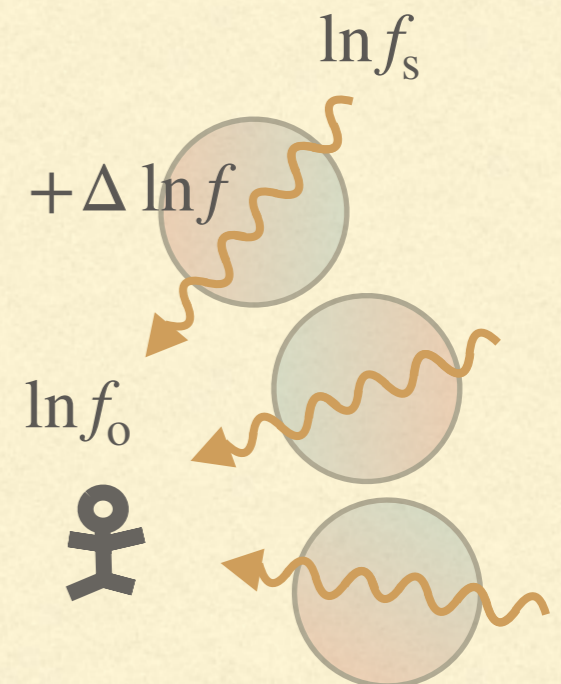
$$\Delta \ln f \equiv \ln(f_o/f_s) = \text{func. of } \Phi_s \text{ and } \Psi_s$$

observed spectrumの周波数ビン  $\ln f$  での振幅を知りたい場合、

source spectrumで参照されるべきビンは  $\ln f - \Delta \ln f$  となる。

ここで  $\Delta \ln f$  は密度揺らぎに依存しており、

重力波の辿った経路ごとに異なる値が実現されているので、平均を取る。



# 重力波スペクトルの歪み: 解析的結果

- このmaster formulaをテーラー展開し、

$$\Delta_h^{2,(o)}(\ln f) \simeq \left\langle (1 + 2\underline{\Delta \ln A}) \Delta_h^{2,(s)}(\ln f - \underline{\Delta \ln f}) \right\rangle_{\text{scalar ens. ave.}}$$

それぞれに幾何光学近似下で計算されたlinear orderでの結果を適用  
[ Laguna, Larson, Spergel, Yunes '10 ]

$$\begin{aligned} \text{振幅} \quad \Delta \ln A &= \underbrace{-\Psi_s - \frac{1}{2}\Phi_s}_{\text{Sachs-Wolfe}} + \text{重力レンズ(無視)} \\ \text{周波数} \quad \Delta \ln f &= \underbrace{\Phi_s - \frac{1}{2}\Phi_s}_{\text{Sachs-Wolfe}} + \underbrace{\int_{\lambda_s}^{\lambda_o} d\lambda \partial_\tau(\Phi + \Psi)}_{\text{積分Sachs-Wolfe}} \end{aligned}$$

- すると、scalar ensemble averageが厳密に計算できる

$$\Delta_h^{2,(o)}(\ln f) \simeq \int d \ln f' \overset{\text{kernel}}{\Delta_h^{2,(s)}(\ln f') K(f, f')} \quad K(f, f') = \overset{\text{linearly biased gaussian}}{\frac{1}{\sqrt{2\pi\sigma^2}} [1 + b(\ln f - \ln f')] e^{-\frac{(\ln f - \ln f')^2}{2\sigma^2}}}$$

# 解析的結果まとめ

$$\Delta_h^{2,(o)}(\ln f) \simeq \int d \ln f' \Delta_h^{2,(s)}(\ln f') K(f, f')$$

kernel  $K(f, f') = \frac{1}{\sqrt{2\pi\sigma^2}} [1 + b(\ln f - \ln f')] e^{-\frac{(\ln f - \ln f')^2}{2\sigma^2}}$

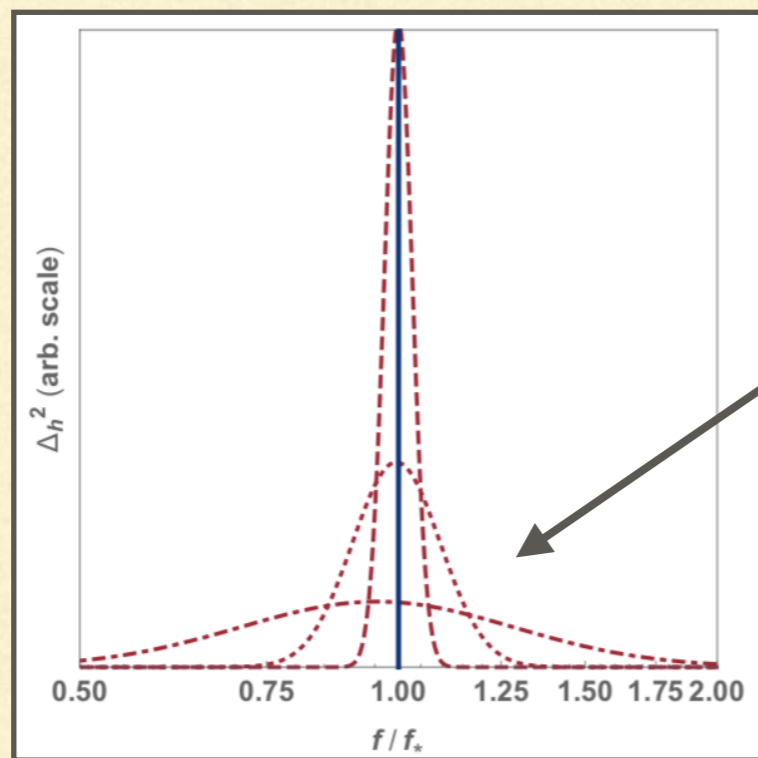
variance  $\sigma^2 \simeq 0.91 \times \int d \ln k \Delta_{\mathcal{R}}^2 \leftarrow$  inflationary curvature perturbation

linear bias  $b \simeq -0.52$

# 数値結果

- 2つの例: 「生成時重力波スペクトル」が

$\delta$  関数の場合

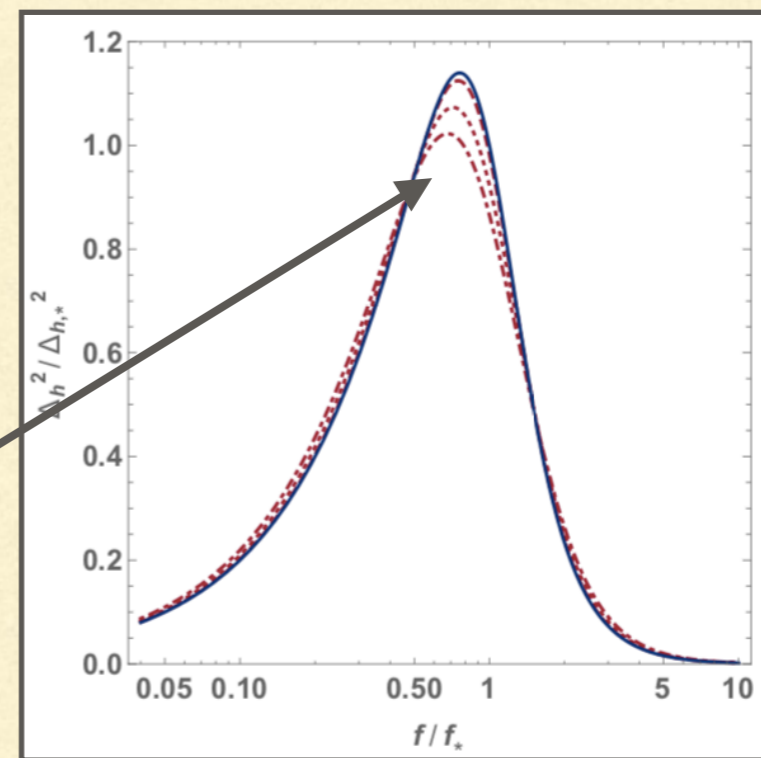


$\int d \ln k \Delta_{\mathcal{R}}^2$  の値

$10^{-3}, 10^{-2}, 10^{-1}$

0.01, 0.05, 0.1

$\propto f^3$  (low freq.) &  $\propto f^{-1}$  (high freq.) の場合



青 : 生成時 / 赤 : 観測時

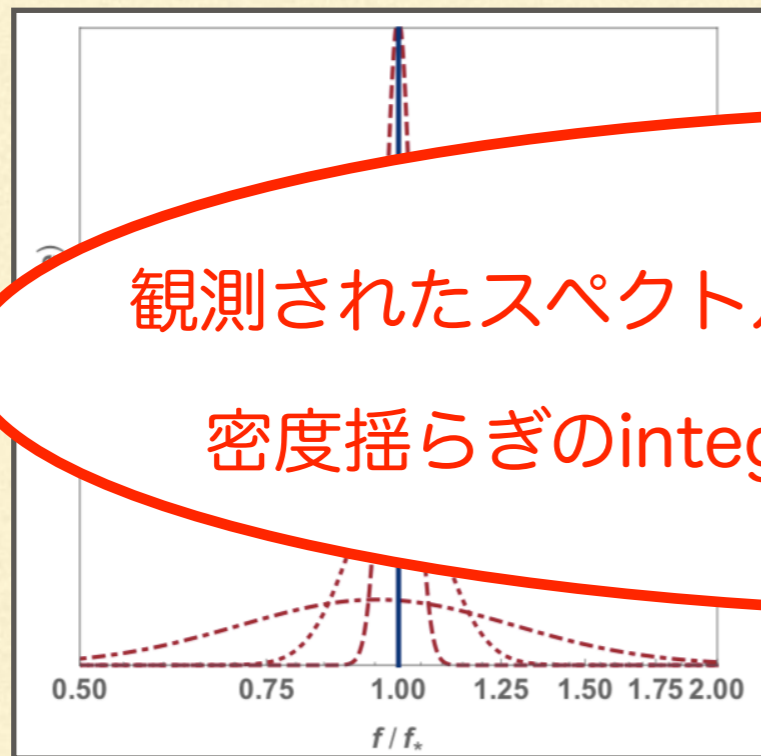
実は右の例は完全には正当化されないのので、order-of-magnitude estimateとして受け取ってください。

時間があればページ23で説明します。

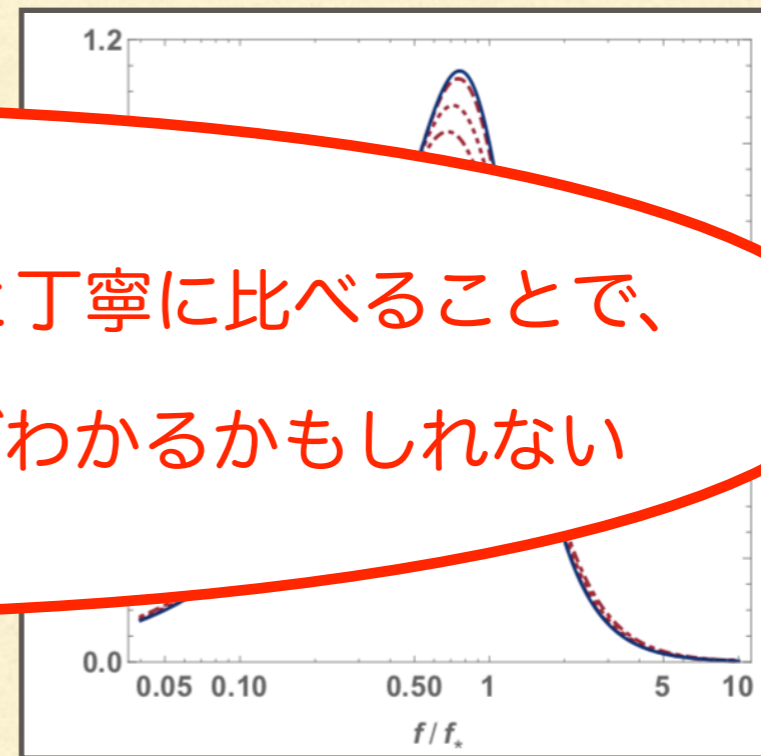
# 数値結果

- 2つの例: 「生成時重力波スペクトル」が

$\delta$  関数の場合



$\propto f^3$  (low freq.) &  $\propto f^{-1}$  (high freq.) の場合



観測されたスペクトルを理論的予言と丁寧に比べることで、  
密度揺らぎのintegrated historyがわかるかもしれない

青：生成時 / 赤：観測時

実は右の例は完全には正当化されないので、order-of-magnitude estimateとして受け取ってください。

時間があればページ23で説明します。

---

# トークプラン

---

1. イントロ

2. アイディア

3. 密度揺らぎが重力波の伝播に与える効果

- 問題の定義

- Sachs-Wolfe, 積分Sachs-Wolfe, ドップラー効果, 重力レンズ

- 解析的表式 & 数値結果

4. まとめ

---

# まとめ

---

- 初期宇宙由来の重力波は、生成後に密度揺らぎの影響を受けながら伝播する
- この効果で、元の重力波の(等方)スペクトルが歪む  
(もちろん、CMBでよく議論されるような非等方性も出る [ Bartolo et al. '19 ] )
- なので、重力波検出器の方向感度が悪くても、観測値と理論予言を  
丁寧にならば、伝播途中にある密度揺らぎの情報が得られるかもしれない
- (説明しませんでしたでしたが)この効果を正確に計算するには2次の摂動論が必要

# (時間があれば) 本当は説明すべきこと 1

- 非自明なステップが2つ：

1. テーラー展開  $\Delta_h^{2,(0)}(\ln f) = \left\langle e^{2\Delta \ln A} \Delta_h^{2,(s)}(\ln f - \Delta \ln f) \right\rangle_{\text{scalar ens. ave.}}$   
 $\stackrel{!}{\simeq} \left\langle (1 + 2\Delta \ln A) \Delta_h^{2,(s)}(\ln f - \Delta \ln f) \right\rangle_{\text{scalar ens. ave.}}$

2. linear orderの結果を適用  $\Delta \ln A \stackrel{!}{=} -\Psi_s - \frac{1}{2}\Phi_s$   
 $\Delta \ln f \stackrel{!}{=} \Phi_s - \frac{1}{2}\Phi_s + \int_{\lambda_s}^{\lambda_o} d\lambda \partial_\tau(\Phi + \Psi)$

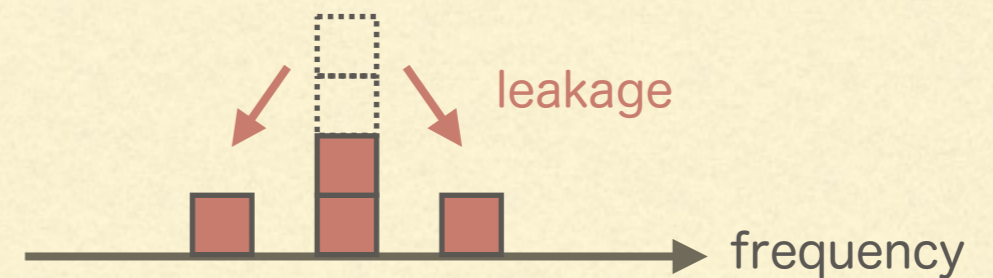
- それぞれのステップで  $\langle (\text{scalar})^2 \rangle_{\text{scalar ens. ave.}}$  項が無視されている



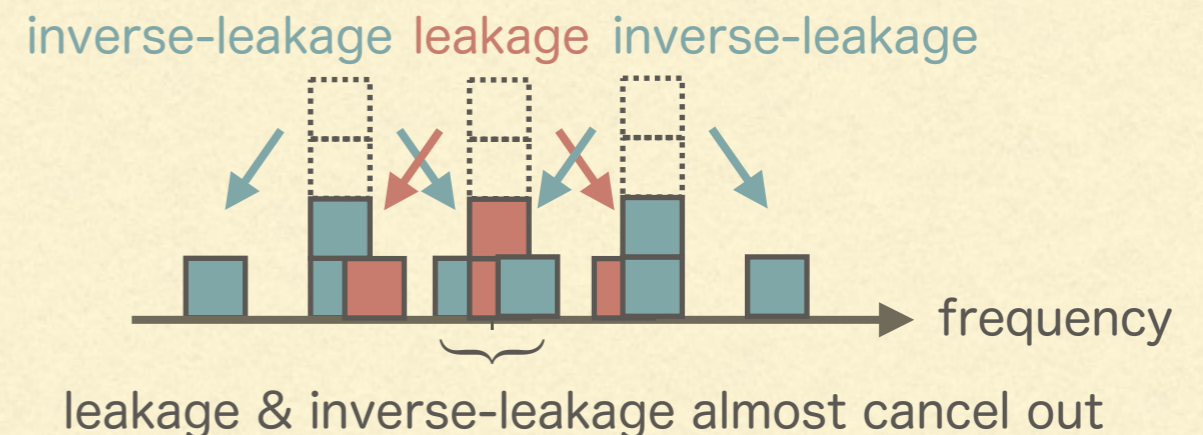
# (時間があれば) 本当は説明すべきこと 1

- 実は次が示せる

$\delta$  関数の場合、我々が取り入れた項が主要項  
(厳密には「生成時重力波スペクトルのピーク幅  
≪ 密度揺らぎがもたらす分散  $\sigma^2$ 」の場合)



生成時重力波スペクトルがbroadな場合、  
我々の計算は主要項の一部



- 正しく計算し切るには？ → 2次の摂動論

# (時間があれば)

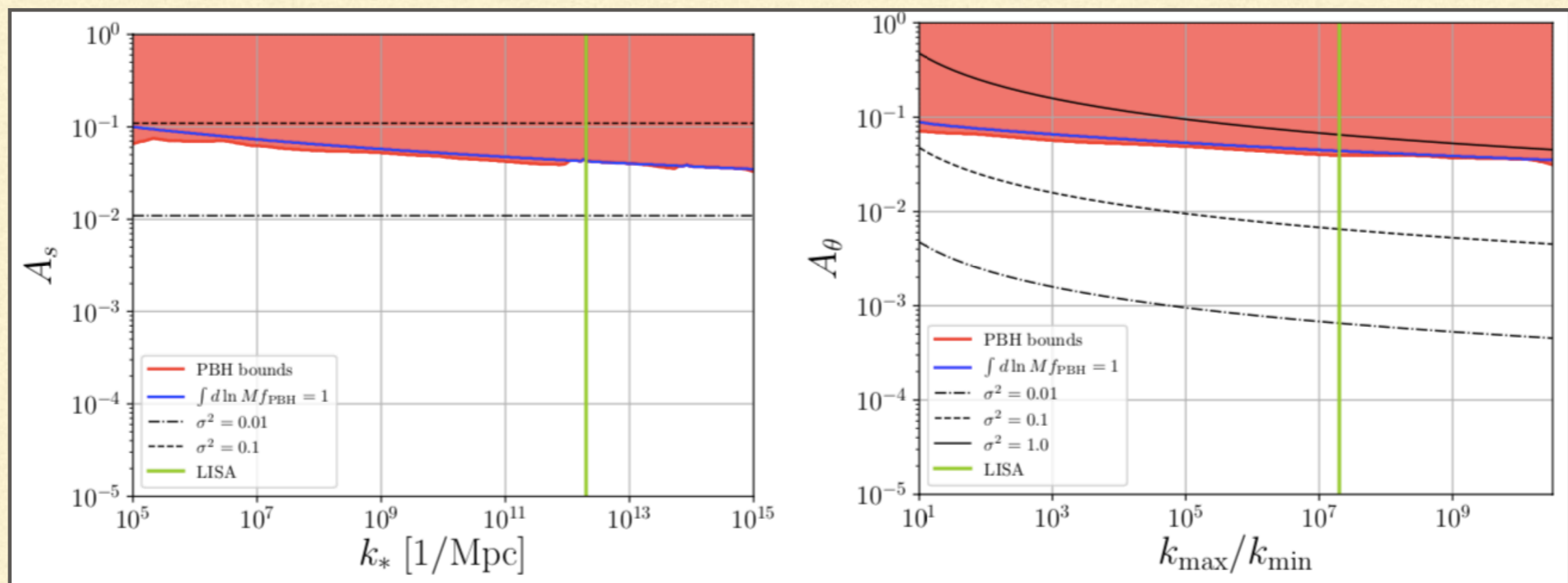
## 本当は説明すべきこと 2

- 密度揺らぎが大きいと、PBHの制限にかかってくる

$$\Delta_{\mathcal{R}}^2(k) = A_s k_* \delta(k - k_*)$$

$$\Delta_{\mathcal{R}}^2(k) = A_\theta \Theta(k - k_{\min}) \Theta(k_{\max} - k)$$

$$k_{\min} = 10^5 \text{ Mpc}^{-1}$$



---

Back up

---

---

# カーネルの導出

## ■ 計算の概略

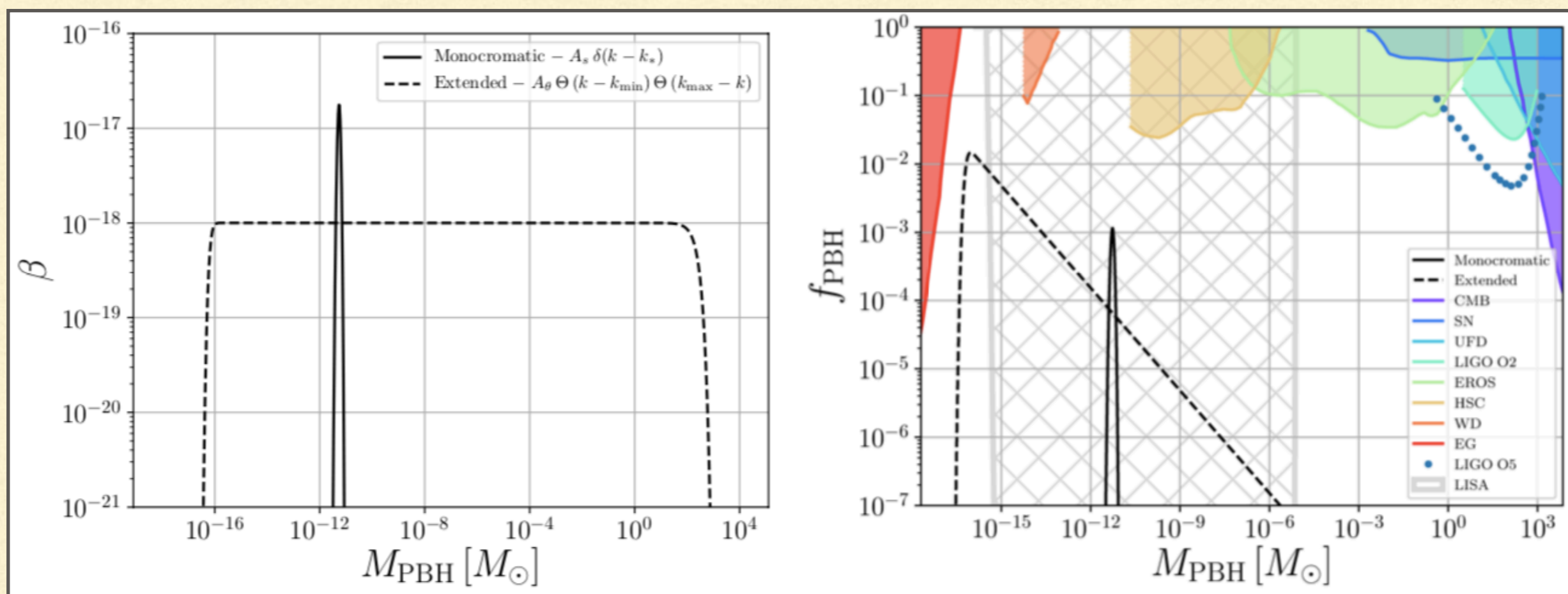
- 変数  $X$  がガウス分布  $P(X) = \frac{1}{\sqrt{2\pi\sigma^2}} e^{-\frac{X^2}{2\sigma^2}}$  に従うとする

- 例えば、 $\langle (1 + 2X)f(x - X) \rangle$  を計算したいとしよう

$$\begin{aligned} \text{- 変数変換で次を得る } \langle (1 + 2X)f(x - X) \rangle &= \int dX \frac{1}{\sqrt{2\pi\sigma^2}} e^{-\frac{X^2}{2\sigma^2}} (1 + 2X)f(x - X) \\ &= \int dx' \frac{1}{\sqrt{2\pi\sigma^2}} [1 + 2(x - x')] e^{-\frac{(x-x')^2}{2\sigma^2}} f(x') \\ &\quad (x - X = x') \end{aligned}$$

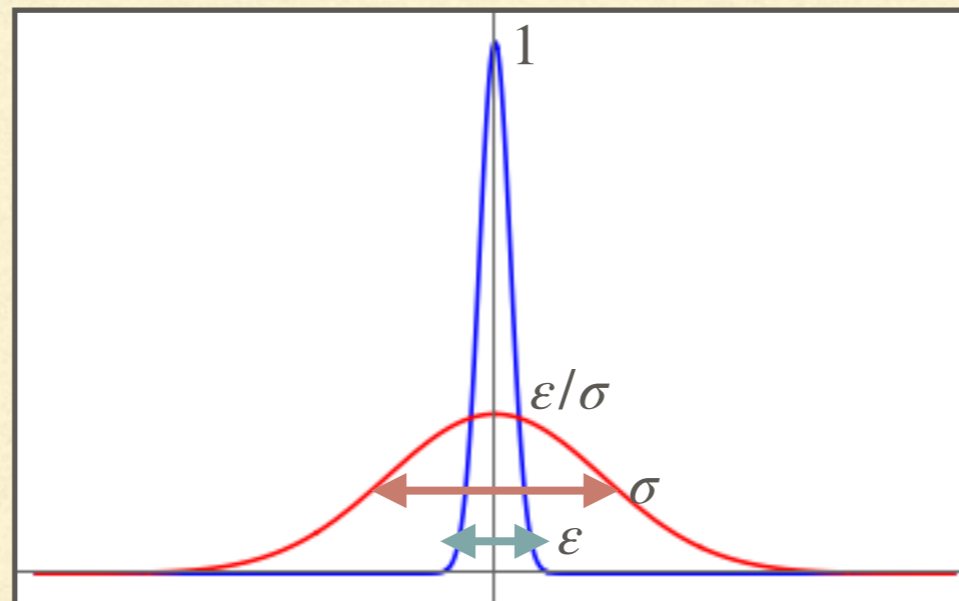
- 実際には無限個のガウシアン変数  $X_1, X_2, \dots$  がある(各波数 $k$ に対応)が、  
本質的には同じ

# PBHからの制限



# 無視した項からの寄与

- $\delta$  関数型の生成次スペクトル  $\Delta_h^{2(s)}(f) = \frac{\Delta_{h,*}^2}{\sqrt{2\pi\varepsilon^2}} \exp\left[-\frac{(\ln f - \ln f_*)^2}{2\varepsilon^2}\right]$  ( $\varepsilon \rightarrow 0$  で  $\delta$  関数)
  - カーネルとの畳み込み表式  $\Delta_h^{2(o)}(f) = \int d\ln f' \Delta_h^{2(s)}(f') K(f, f')$  で
- 観測者スペクトル  $\Delta_h^{2(o)}(f) = \frac{\Delta_{h,*}^2}{\sqrt{2\pi(\varepsilon^2 + \sigma^2)}} \left[1 + \frac{\sigma^2}{\varepsilon^2 + \sigma^2} b(\ln f - \ln f_*)\right] \exp\left[-\frac{(\ln f - \ln f_*)^2}{2(\varepsilon^2 + \sigma^2)}\right]$  を得る



# 無視した項からの寄与

- テーラー展開を詳細に見る

$$\begin{aligned}\Delta_h^{2(o)}(\ln f) &= \left\langle e^{2\Delta \ln A} \Delta_h^{2(s)} (\ln f - \Delta \ln f) \right\rangle_{\text{ens}(s)} \\ &= \left\langle \left(1 + 2\Delta \ln A^{(1)}\right) \Delta_h^{2(s)} \left(\ln f - \Delta \ln f^{(1)}\right) \right\rangle_{\text{ens}(s)} \\ &\quad + \left\langle 2 \left(\Delta \ln A^{(1)}\right)^2 + 2\Delta \ln A^{(2)} \right\rangle_{\text{ens}(s)} \Delta_h^{2(s)}(\ln f) \\ &\quad + \left\langle \Delta_h^{2(s)} \left(\ln f - \Delta \ln f^{(2)}\right) \right\rangle_{\text{ens}(s)} - \Delta_h^{2(s)}(\ln f) \\ &\quad + \mathcal{O}(\sigma^3).\end{aligned}$$

: これを取り入れた

: 垂直方向シフト

:  $\mathcal{O}(\sigma^2)$  の水平方向シフト